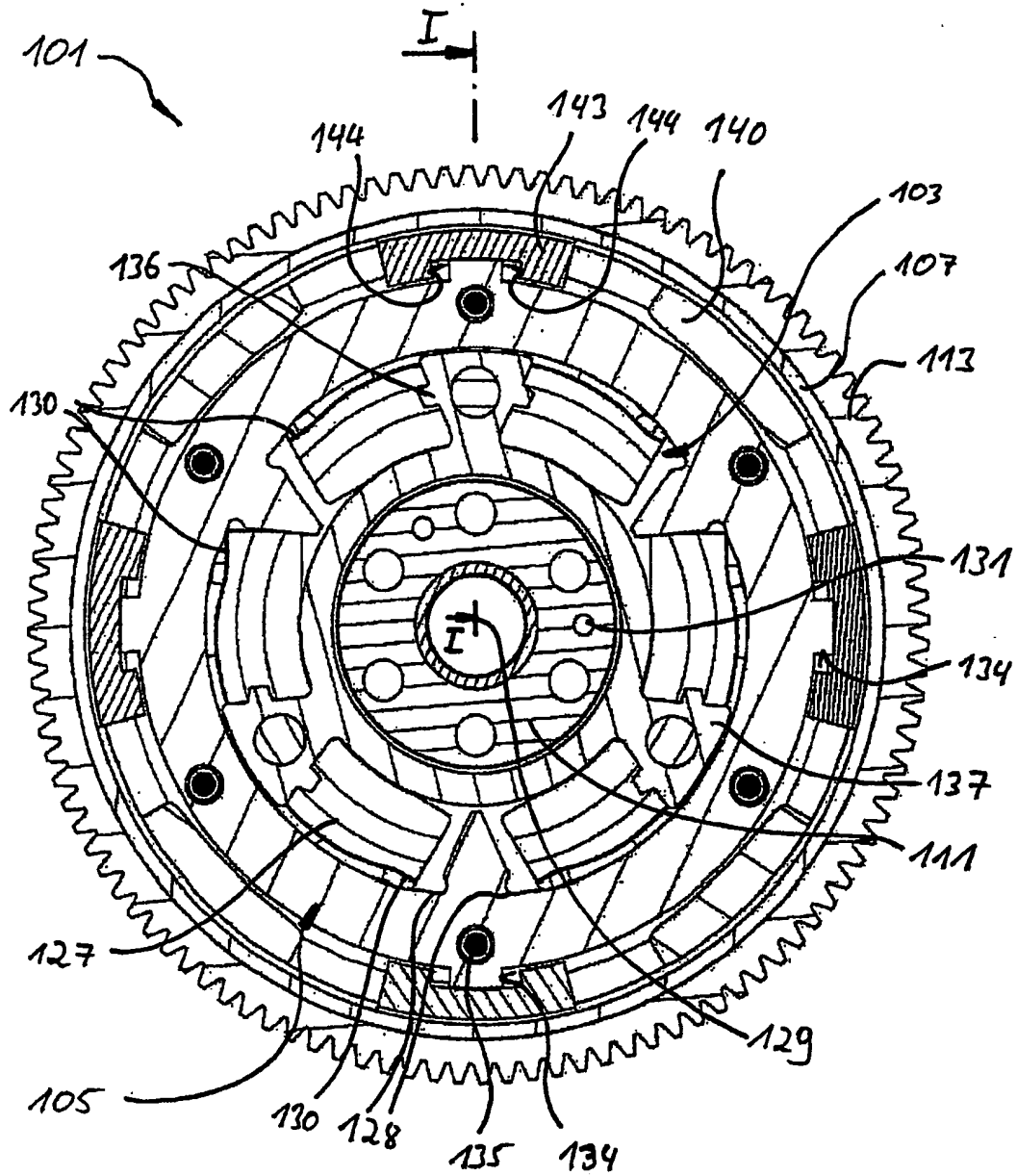
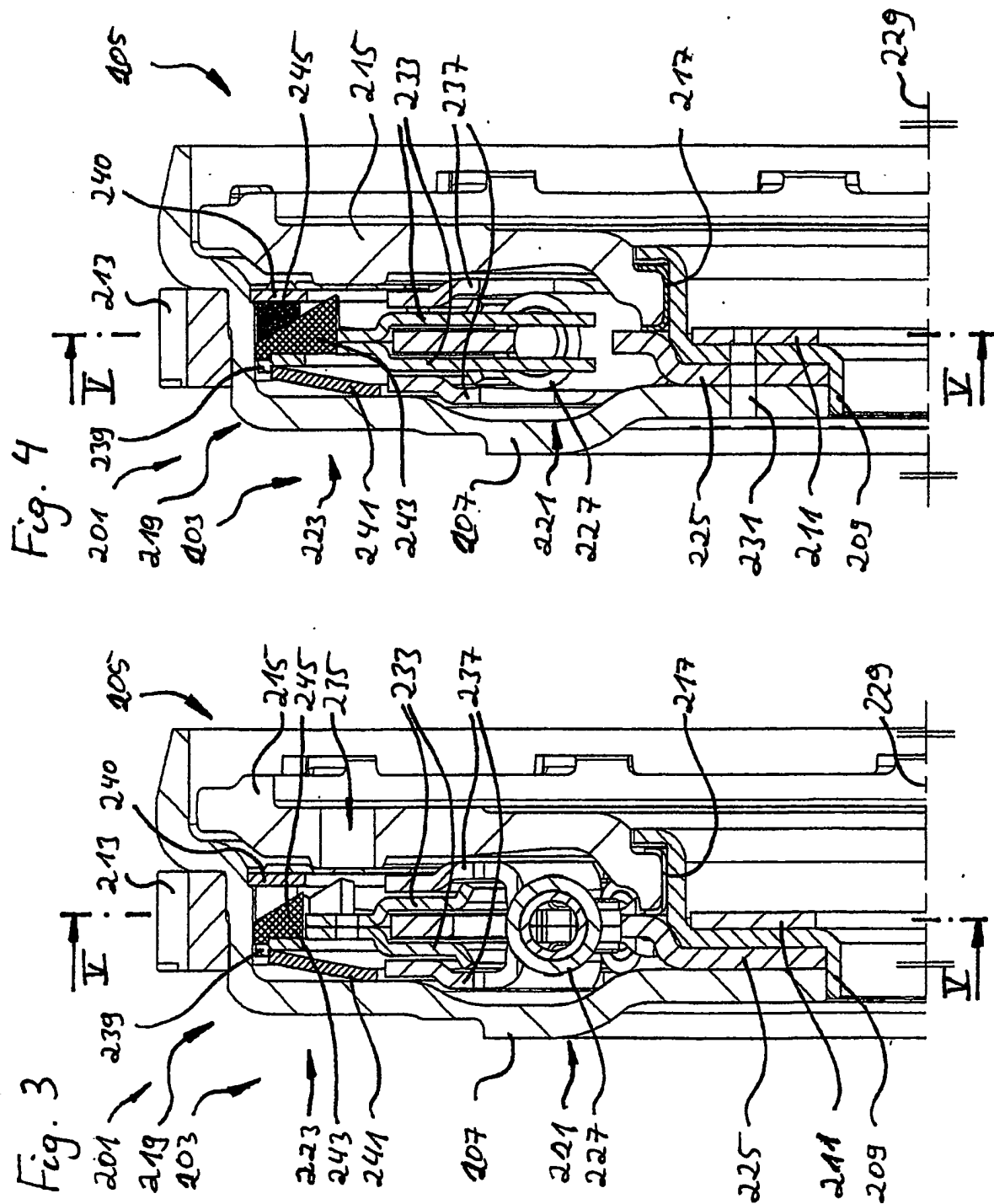
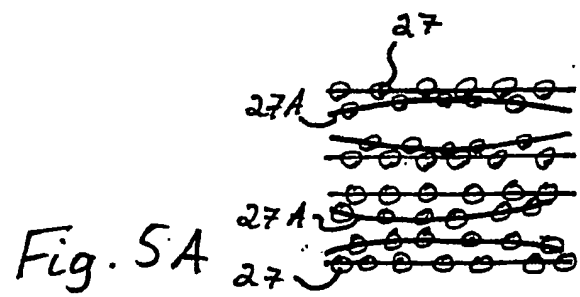
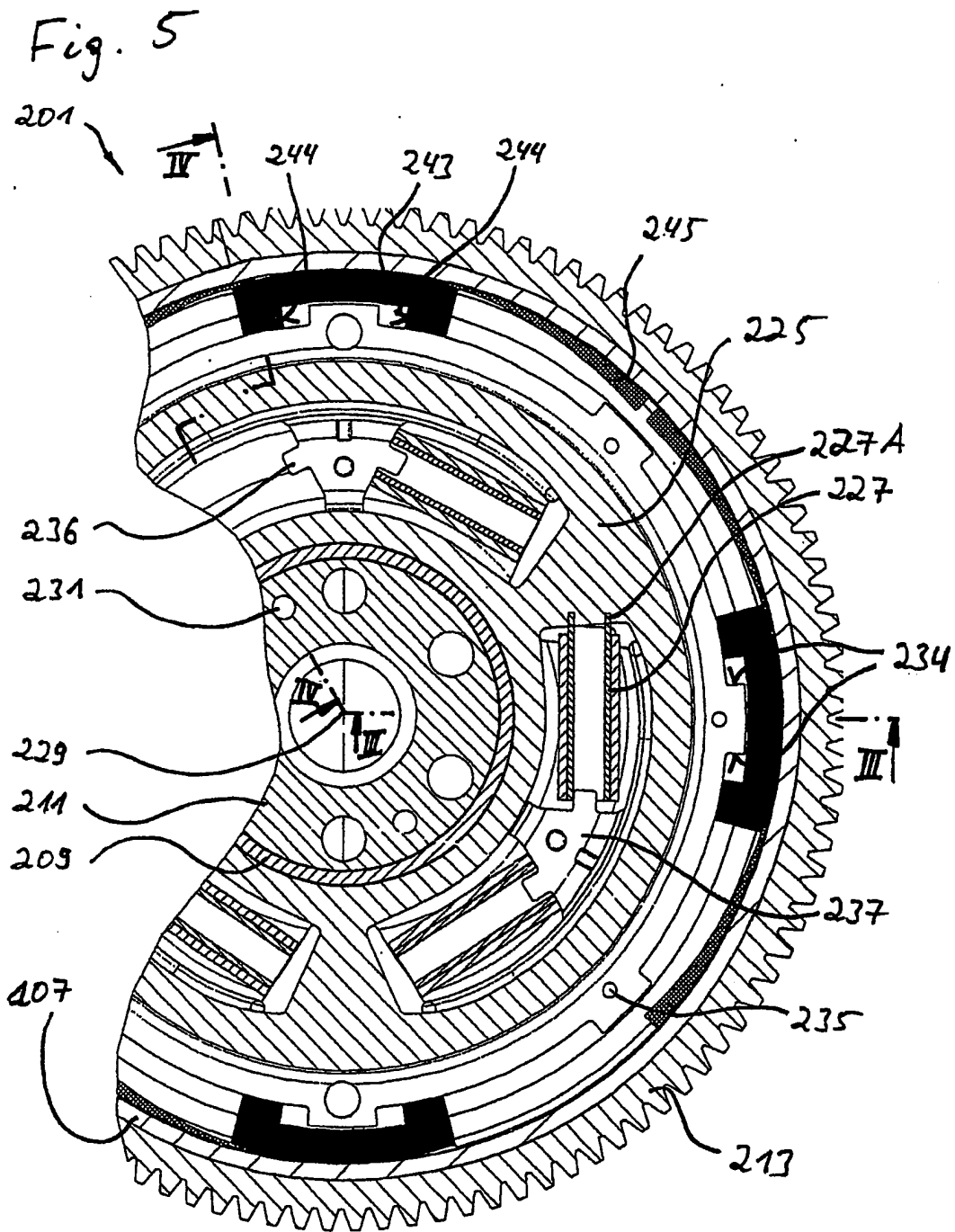


Fig. 2







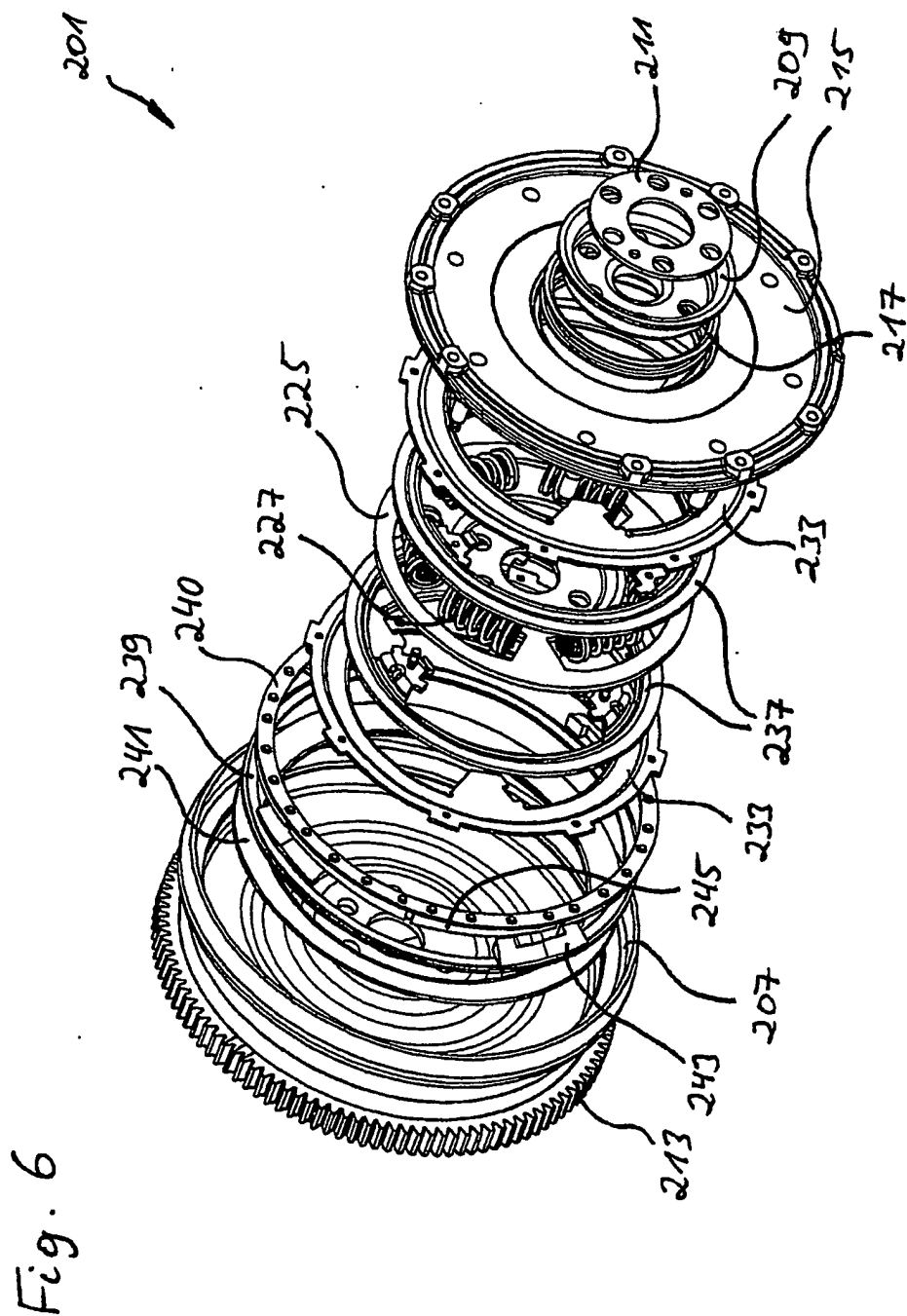
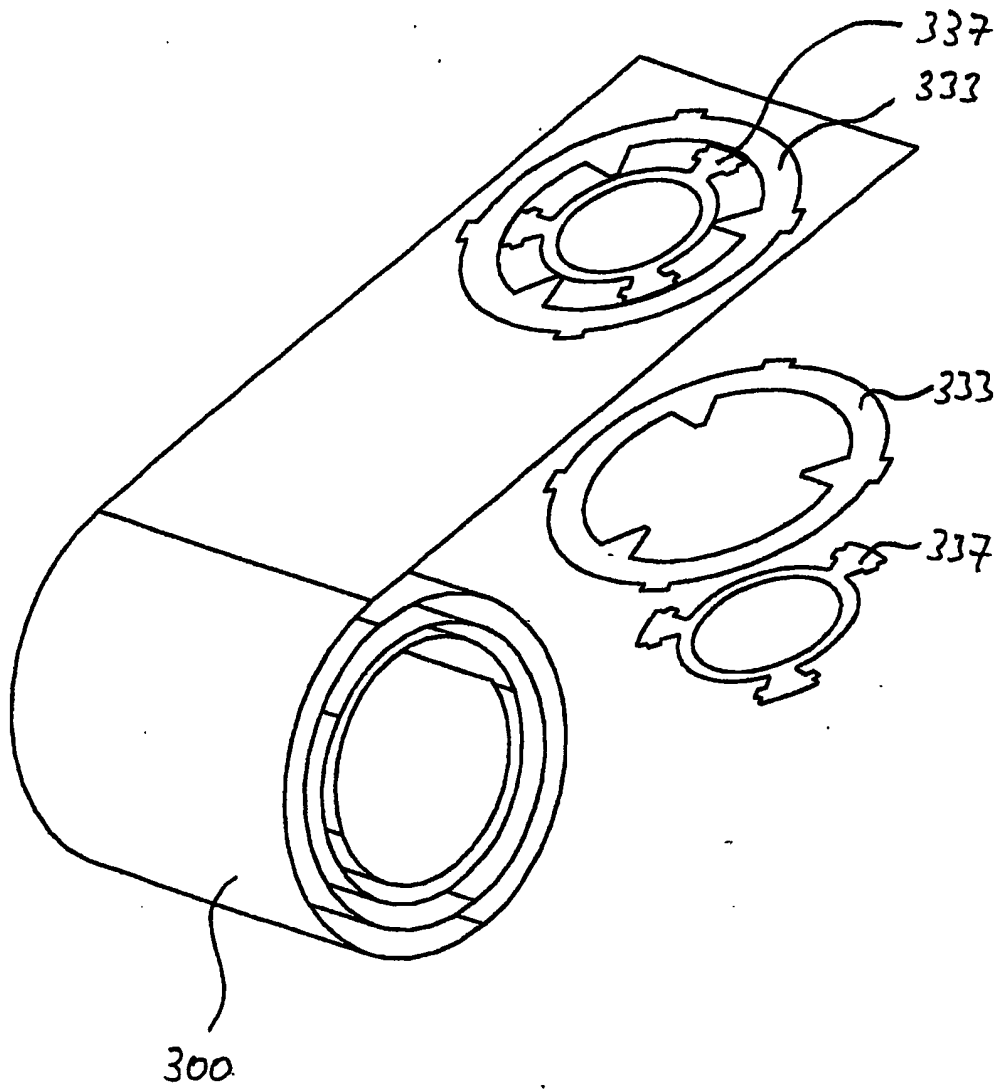


Fig. 7



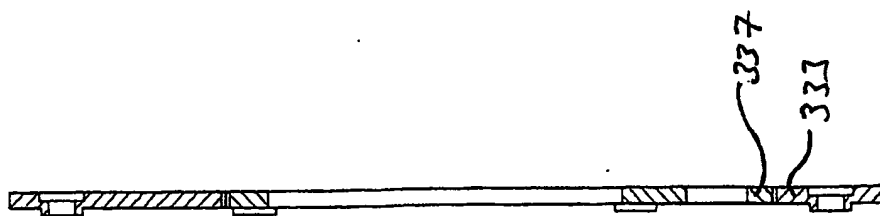


Fig. 9

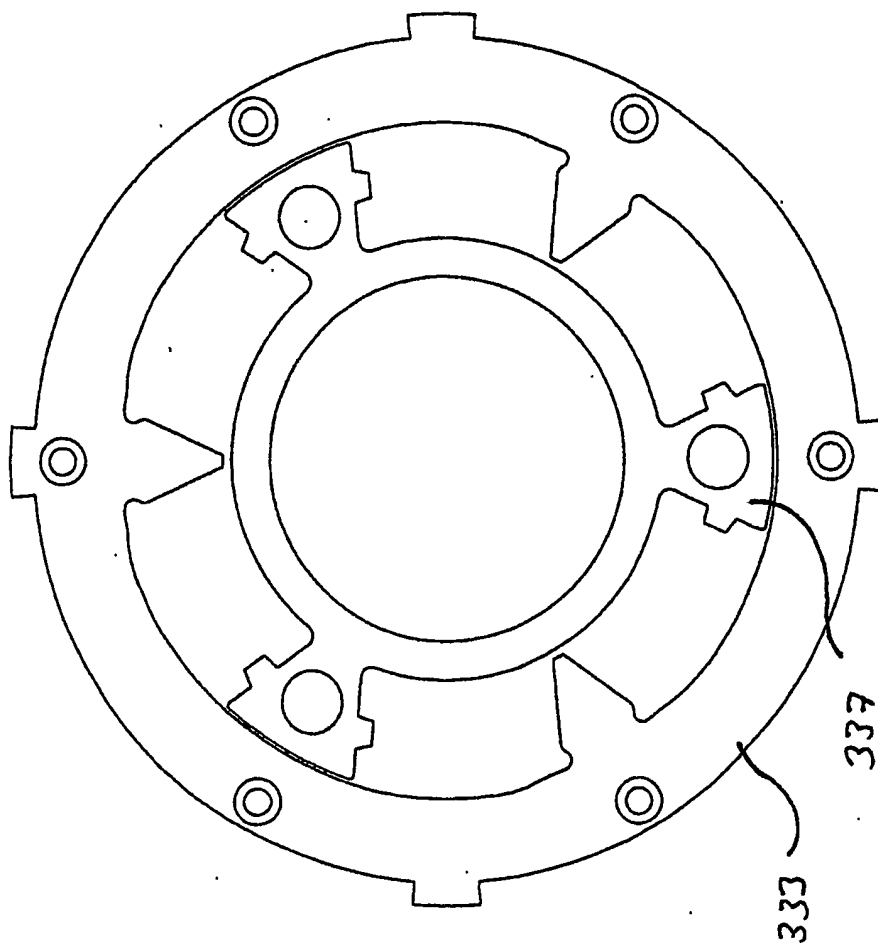


Fig. 8

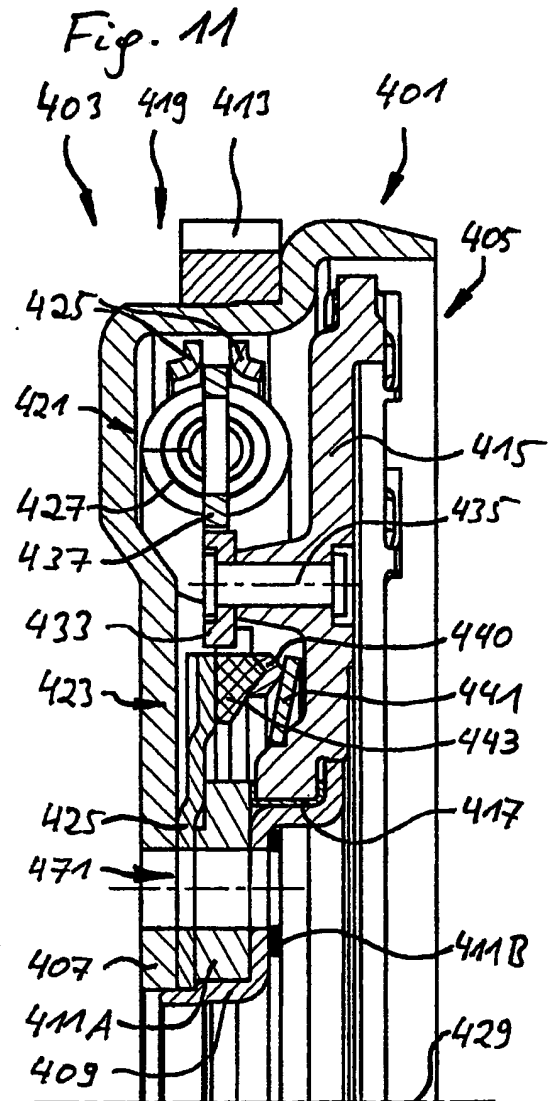
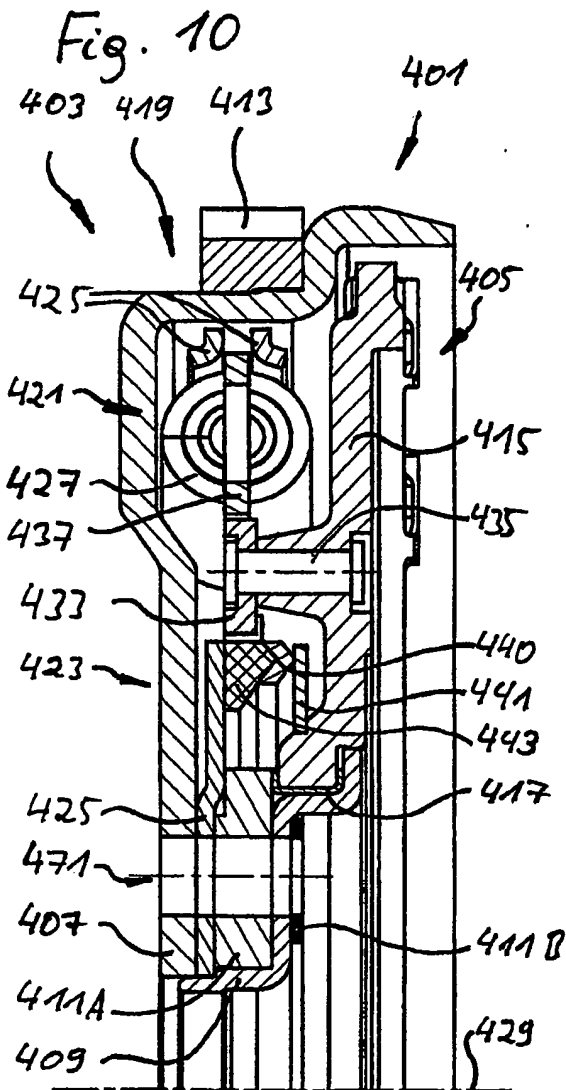




Fig. 12

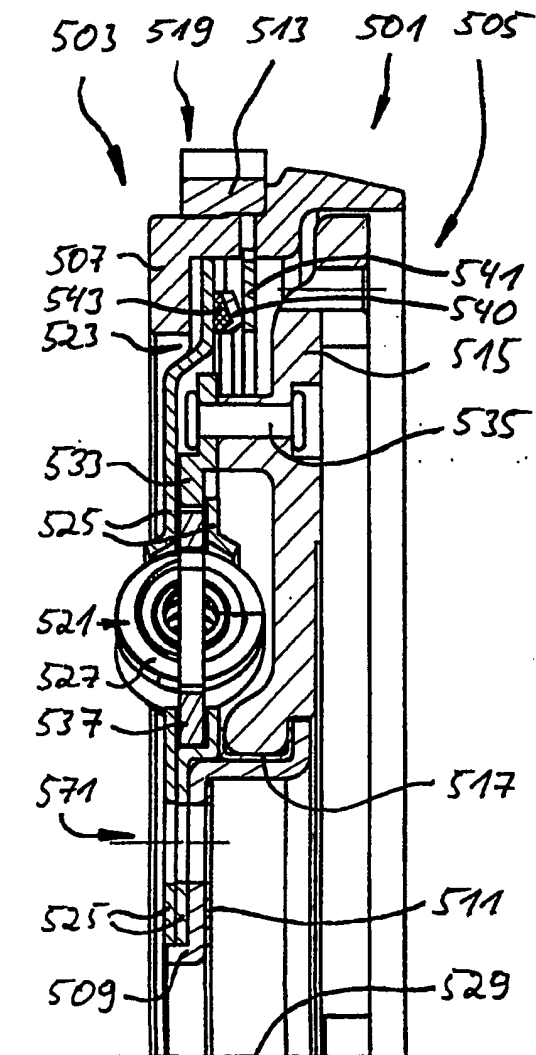


Fig. 13

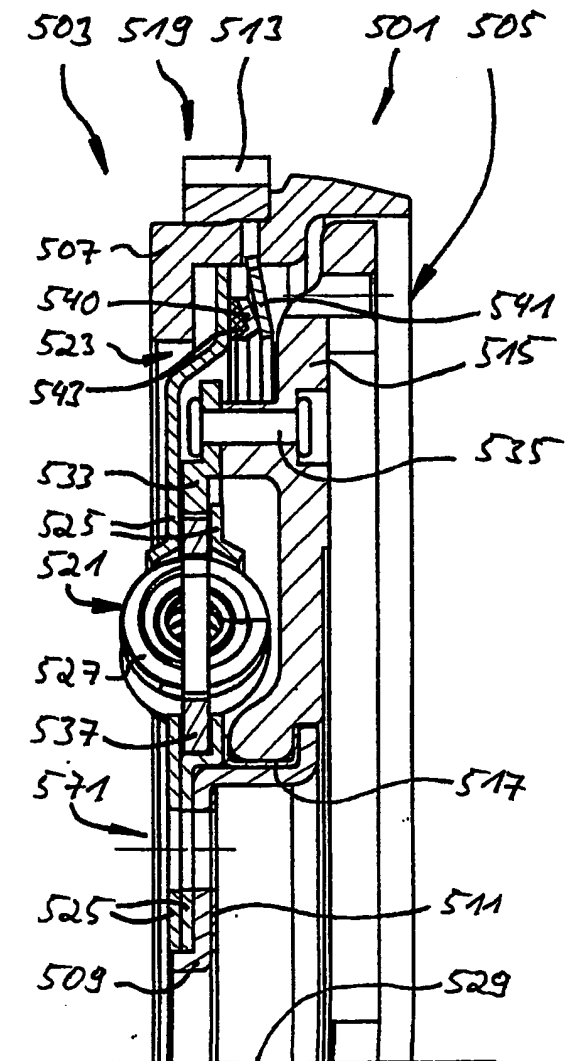
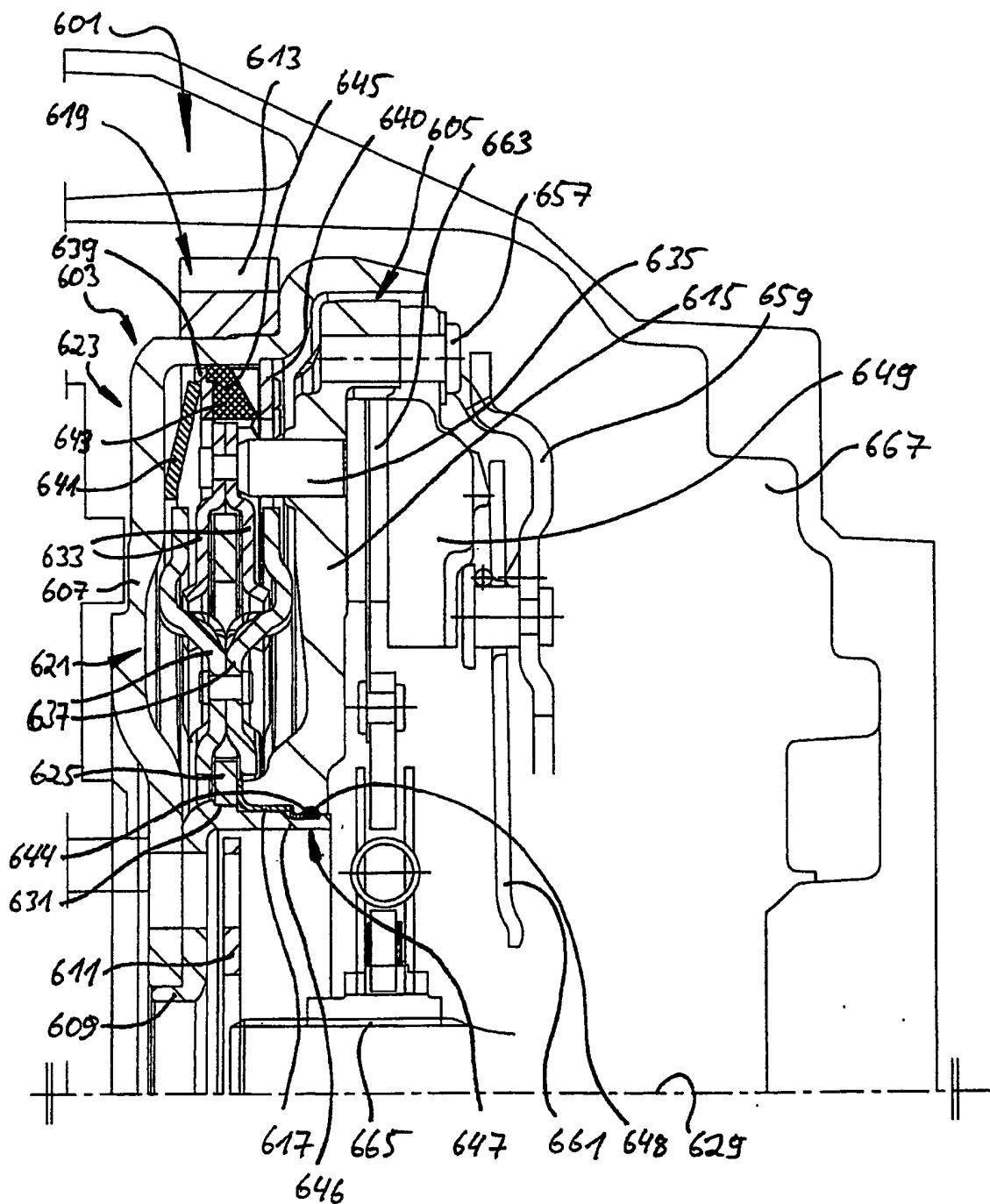
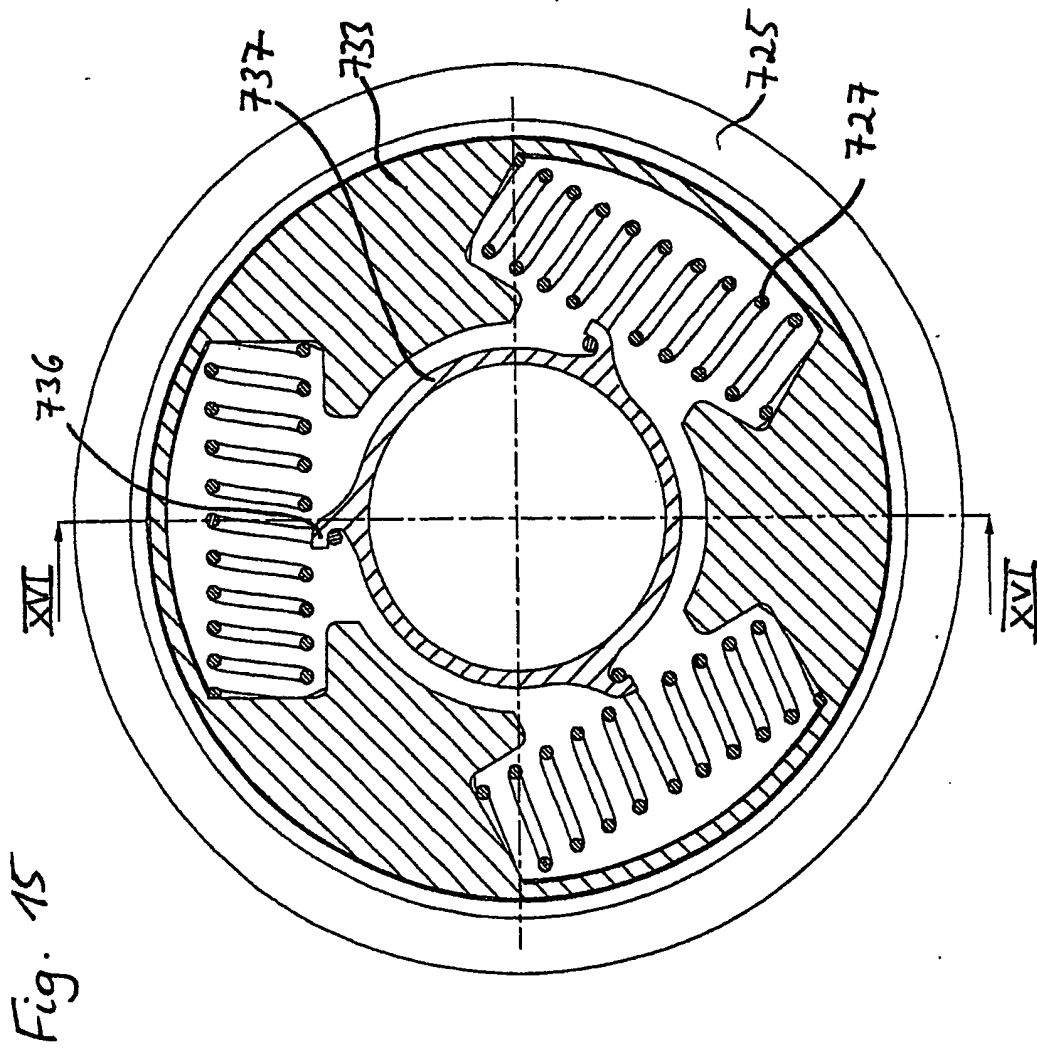
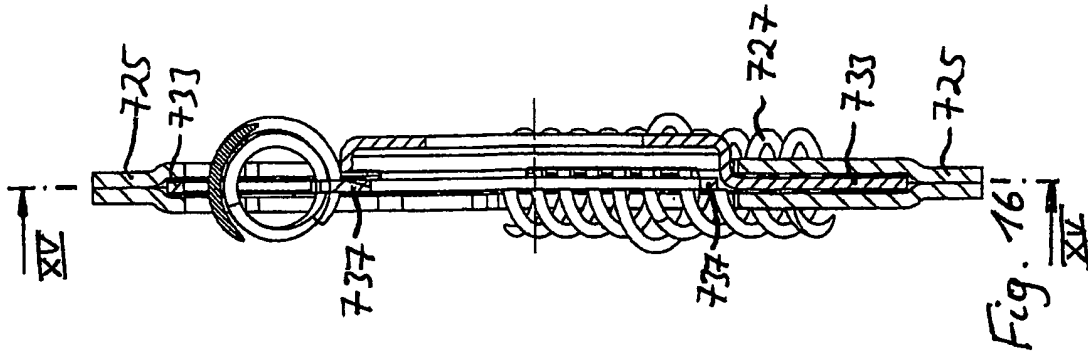
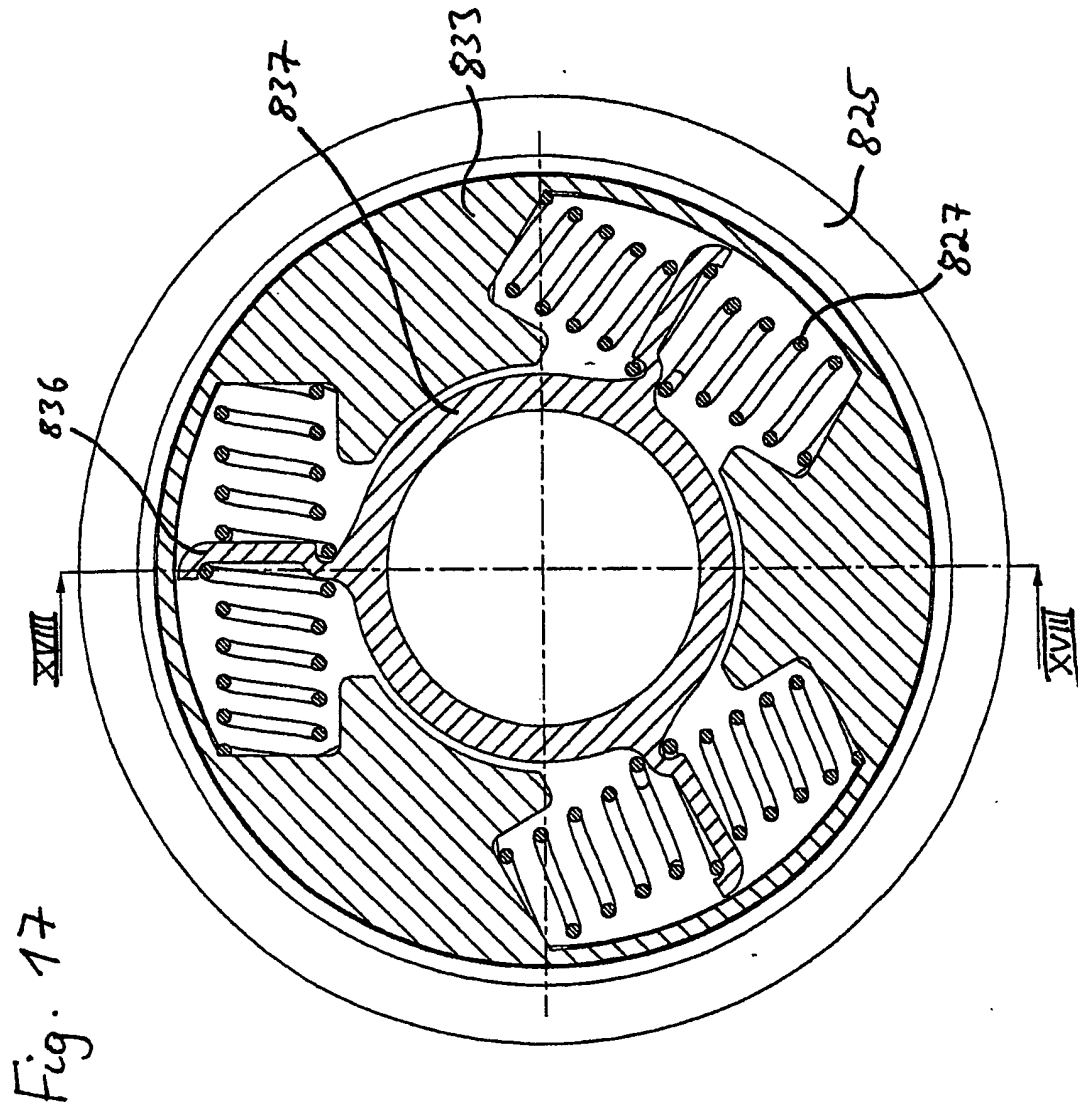
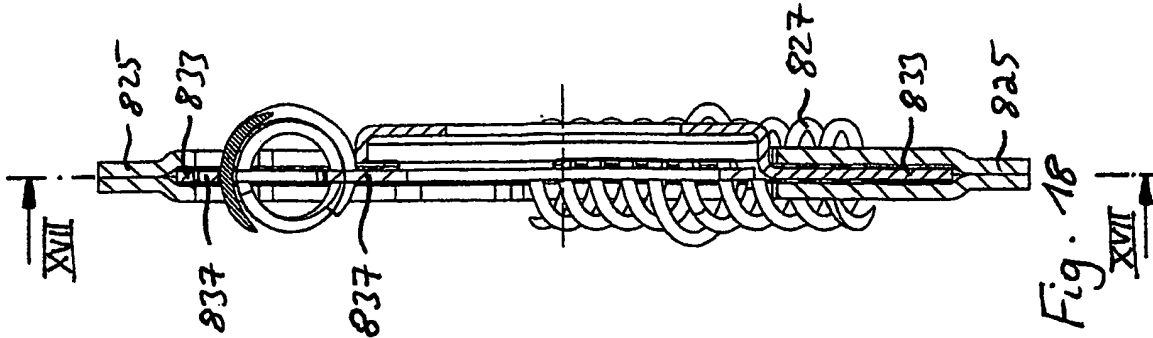
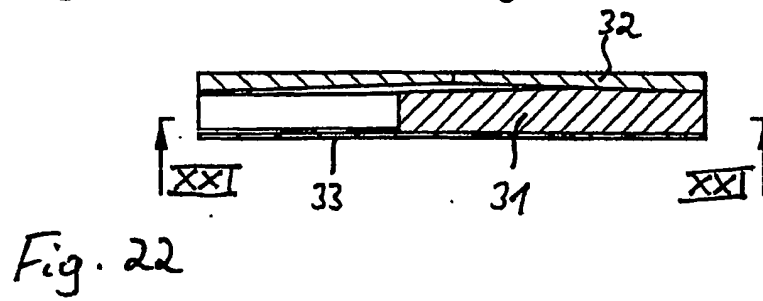
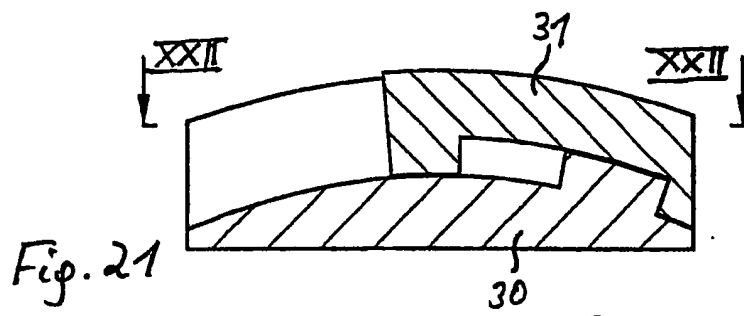
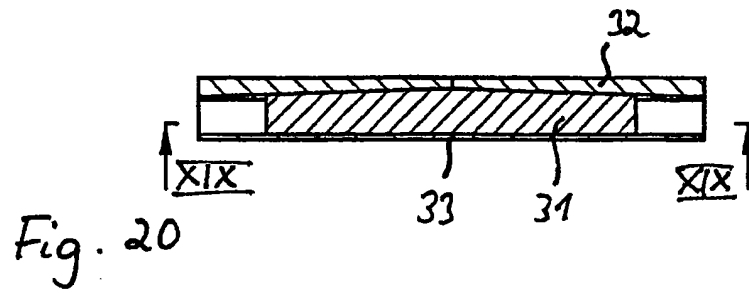
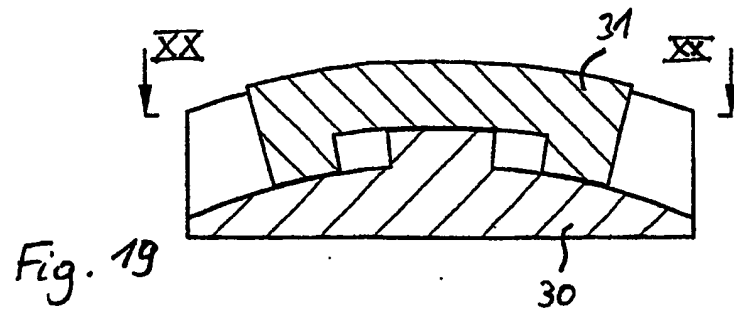


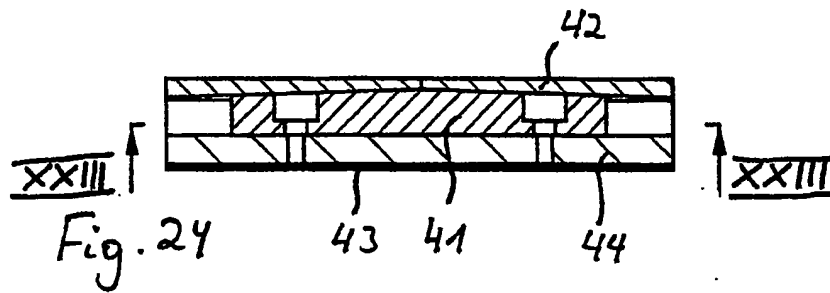
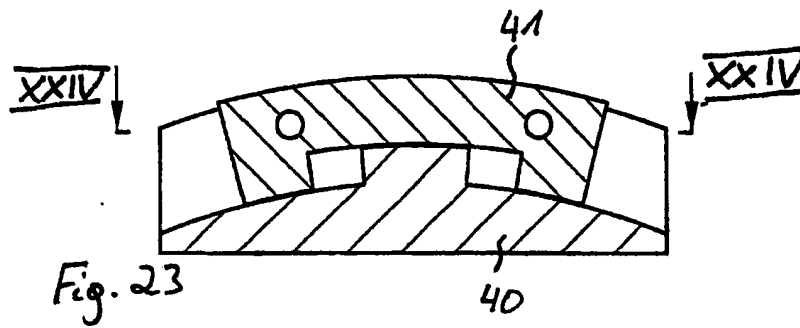
Fig. 14

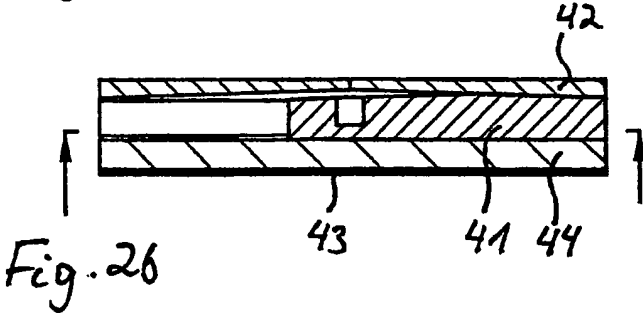
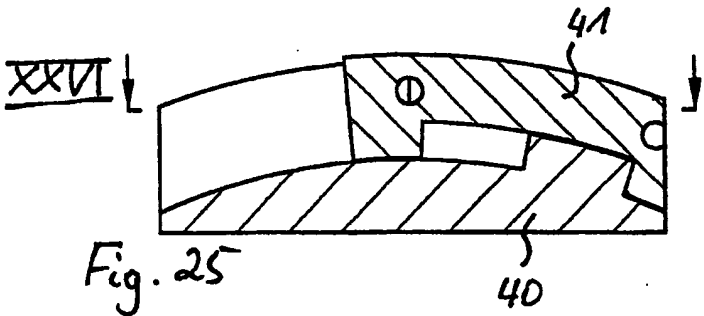


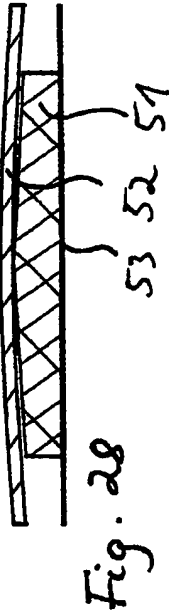




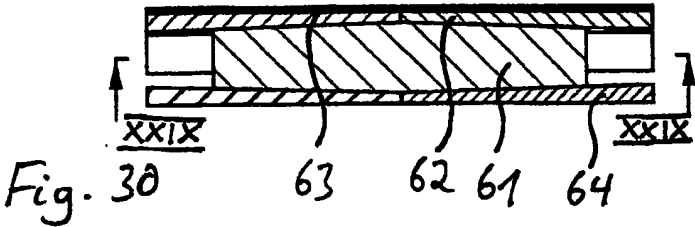
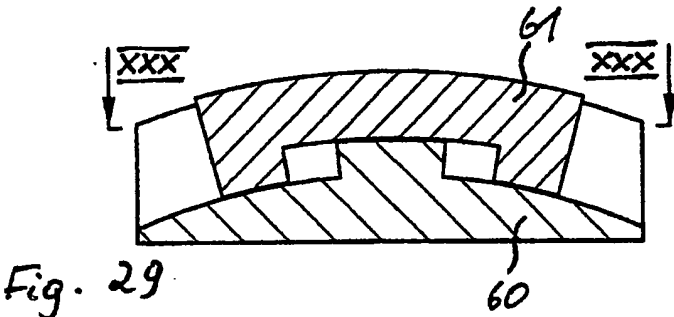


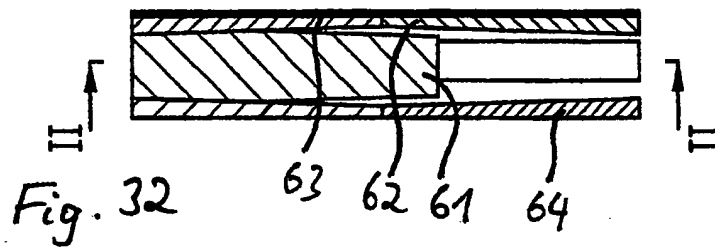
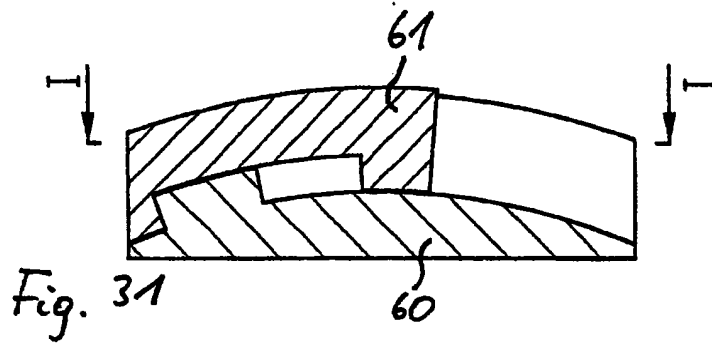












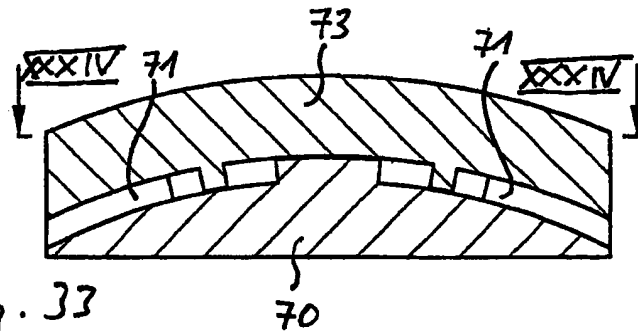


Fig. 33

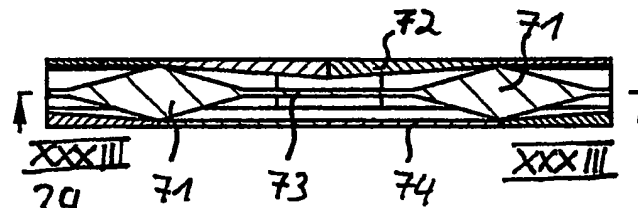
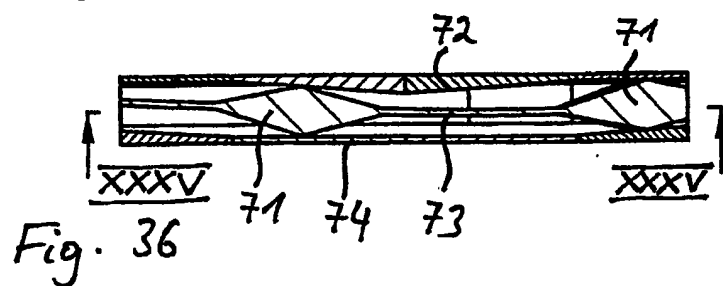
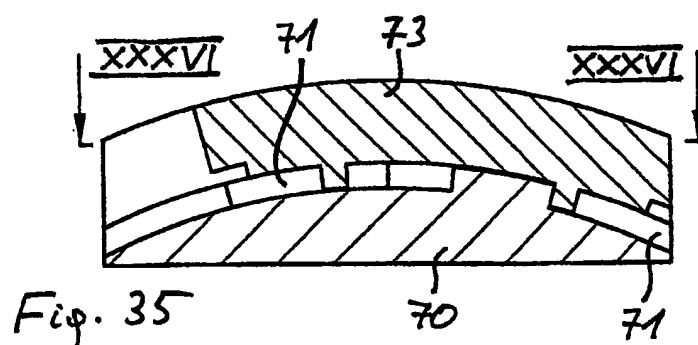


Fig. 39



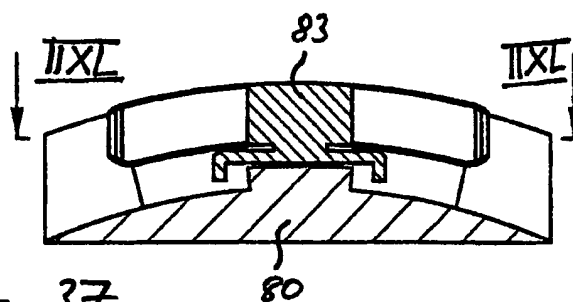


Fig. 37

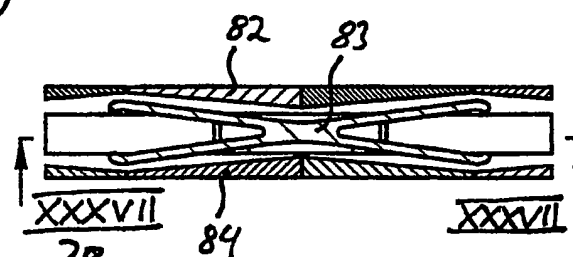


Fig. 38

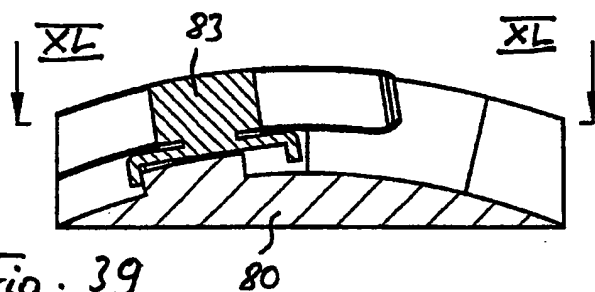


Fig. 39

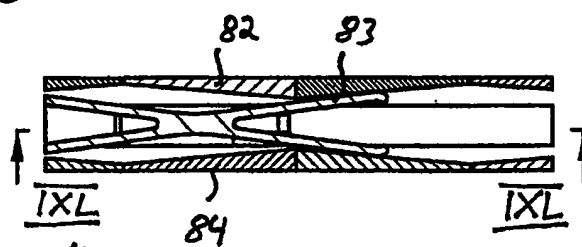


Fig. 40